

20/0201 6449999

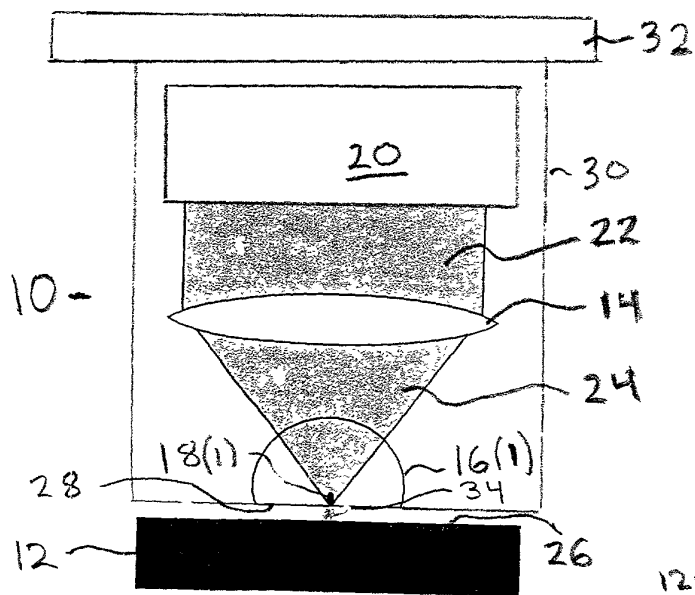


FIG. 1A

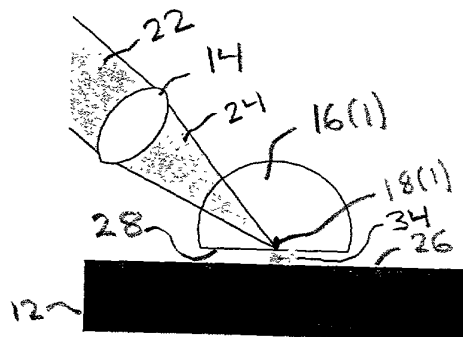


FIG. 1B

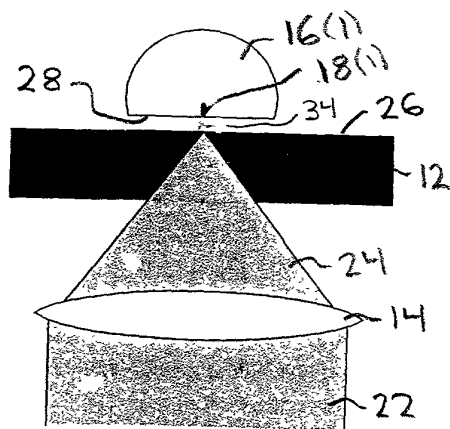


FIG. 1C

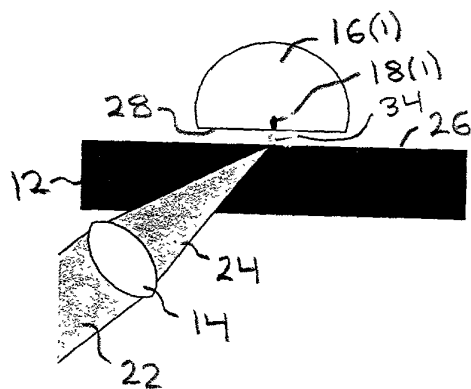


FIG. 1D

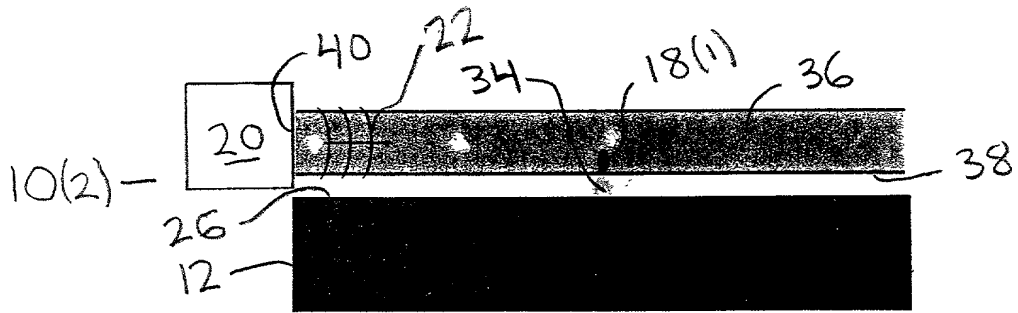


FIG. 2

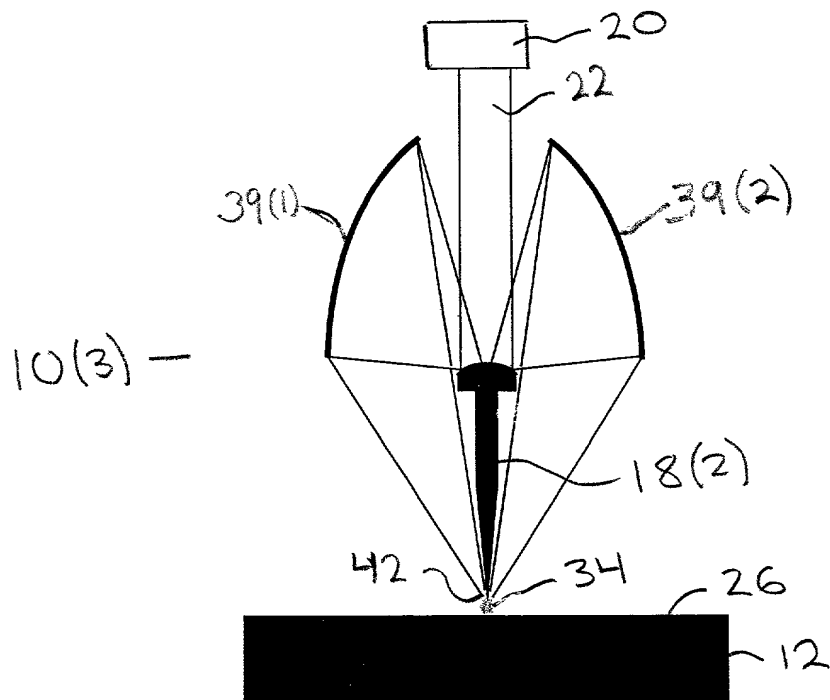


FIG. 3

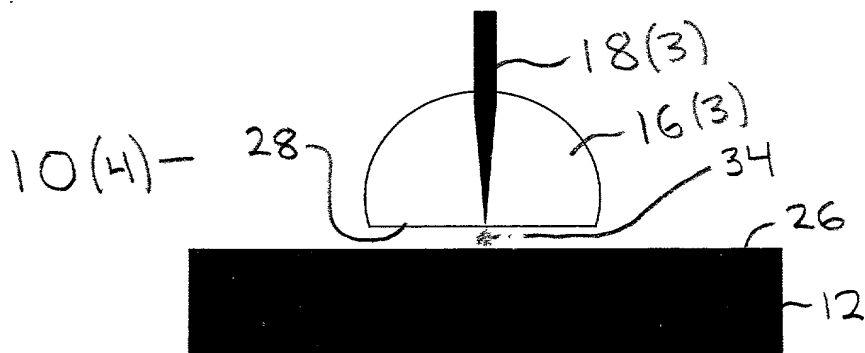


FIG. 4

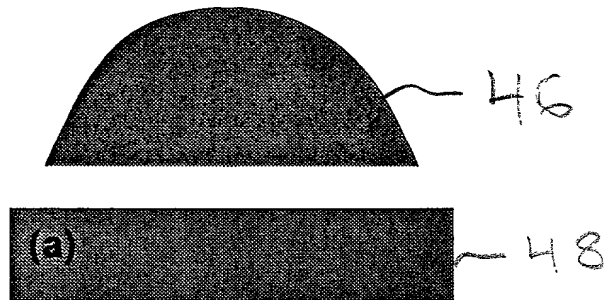


FIG. 5A

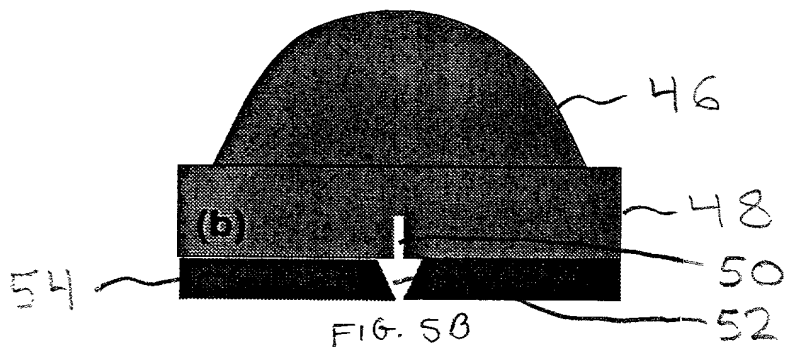


FIG. 5B

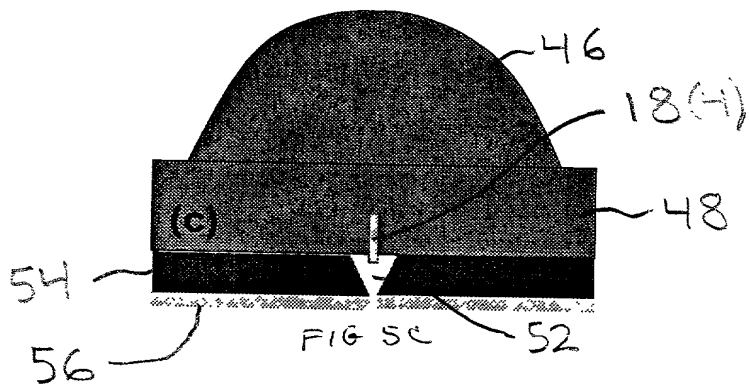


FIG. 5C

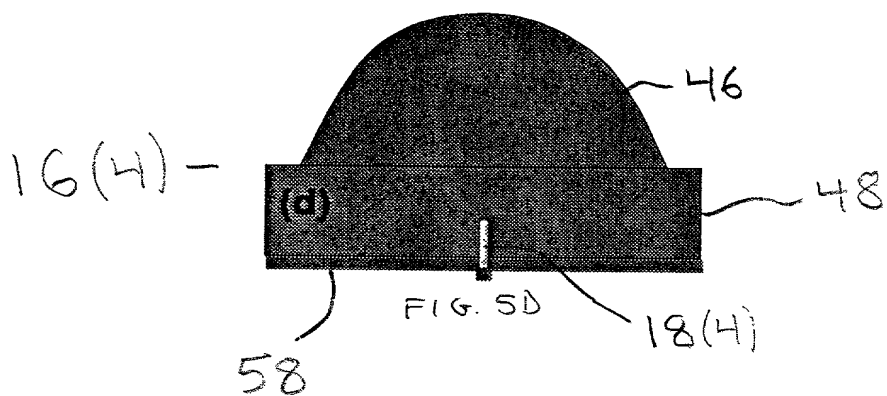


FIG. 5D

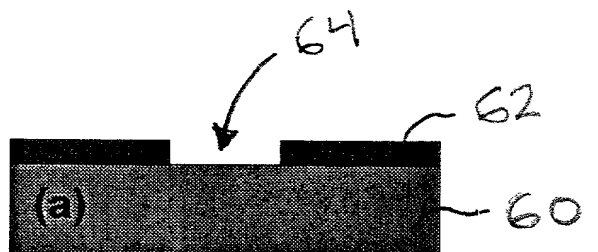


FIG. 6A

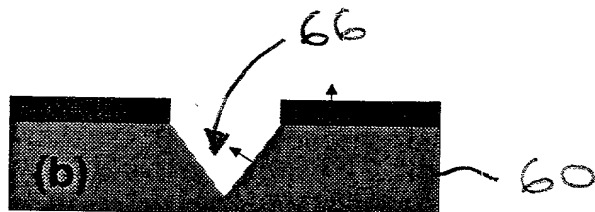


FIG. 6B

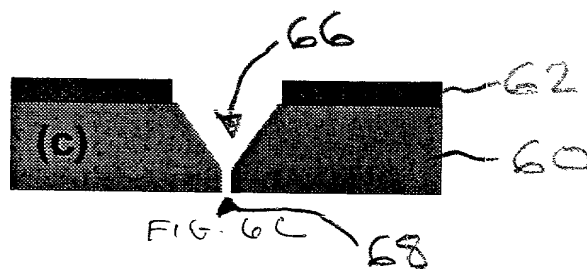


FIG. 6C

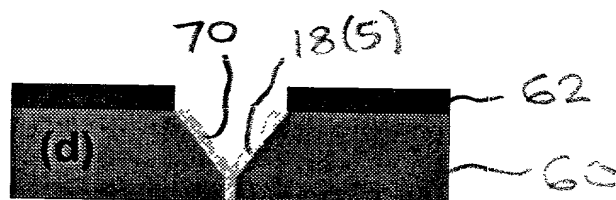


FIG. 6D

16(5)-

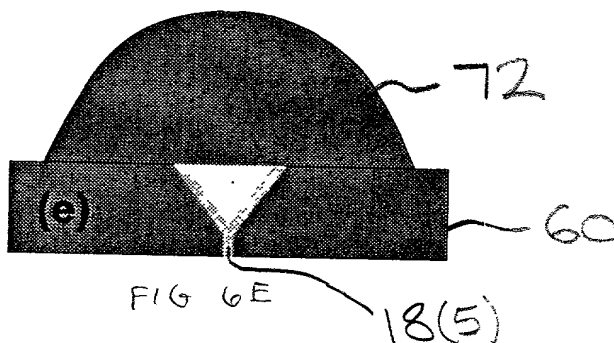


FIG. 6E

FIG. 7A

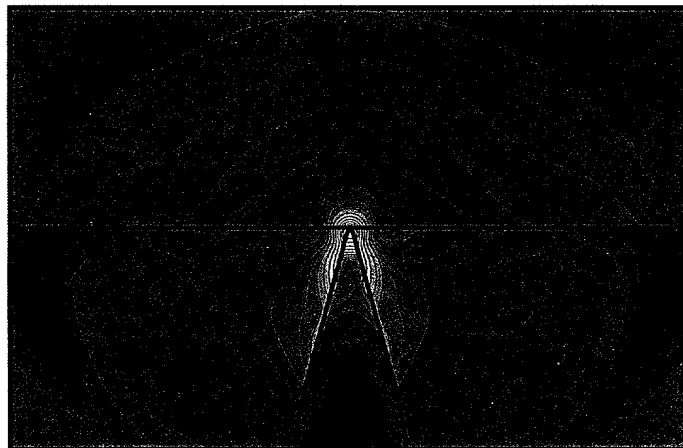


FIG. 7B

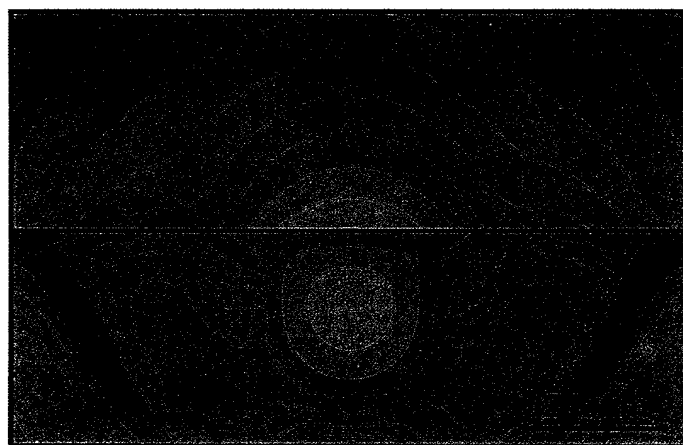
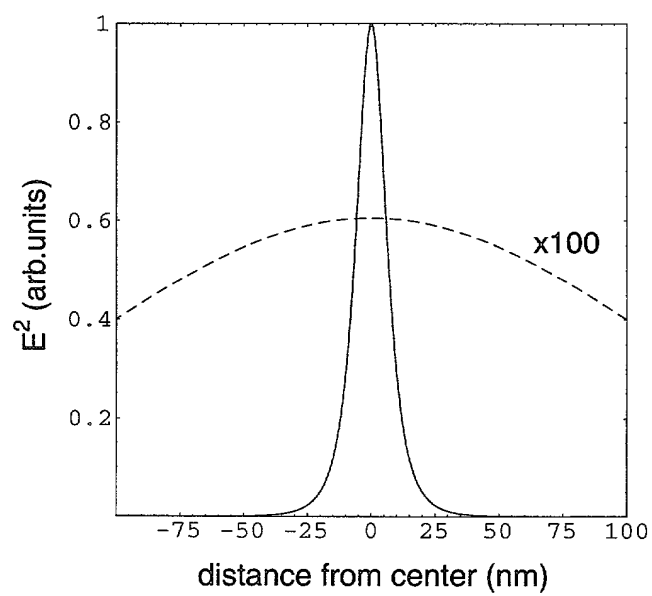


FIG. 8



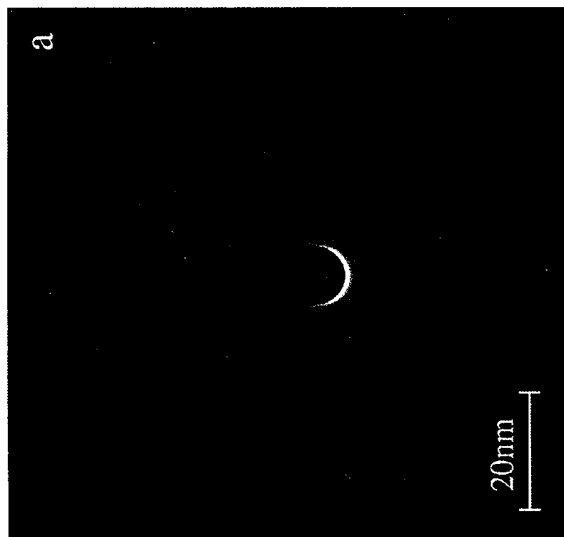


FIG. 9A

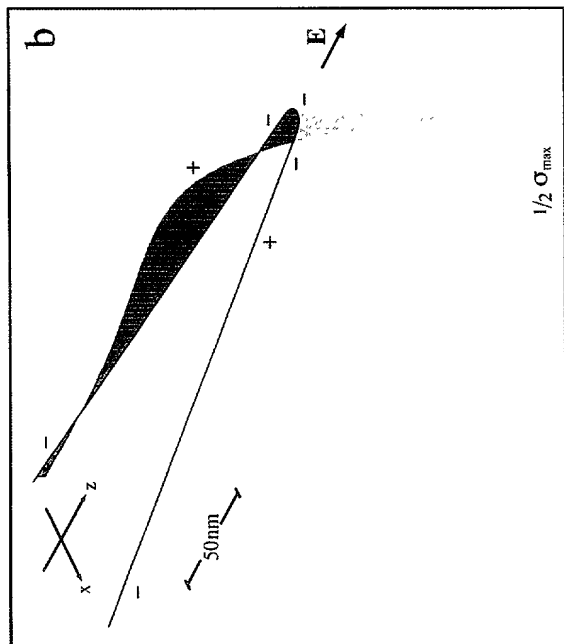


FIG. 9B

topography

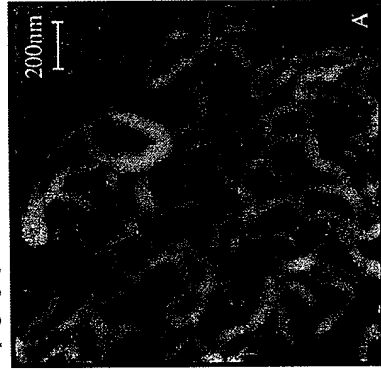


FIG. 10A

two-photon excited fluorescence



FIG. 10B

emission spectrum

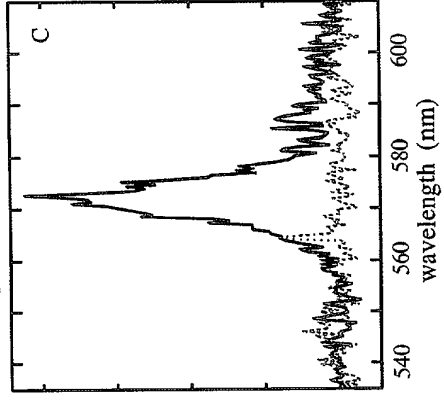


FIG. 10C